

doi:10.3969/j.issn.1003-6350.2015.09.0452

·论著·

远程缺血预处理对大鼠体外循环后肺损伤的保护作用及机制探讨

涂杰, 梁东科, 刘国锋, 梁蓓薇, 韦秋英, 刘菊梅, 张炳东

(广西医科大学第一附属医院心血管病研究所手术麻醉室, 广西 南宁 530021)

【摘要】目的 评价远程缺血预处理(RIPC)对大鼠体外循环(CPB)后肺损伤的保护作用并探讨相关机制。**方法** 成年雄性 SD 大鼠 60 只, 随机分为三组($n=20$): 假手术组(S 组)、CPB 组和 RIPC+CPB 组。S 组行麻醉和穿刺但不行 CPB; CPB 组采用尾动脉插管灌注, 右颈静脉插管引流建立 CPB 模型; RIPC+CPB 组在实施 CPB 前对后肢进行 RIPC(通过驱血带阻断后肢血流 10 min, 复灌 10 min, 两侧后肢交替进行, 每侧进行 3 次)。麻醉复苏后 2 h 采集上腔静脉血样, 测定血清 TNF- α 和 IL-6 浓度, 然后处死大鼠取肺组织, 测定肺湿/干重比值(W/D 比值)、丙二醛(MDA)含量和谷胱甘肽过氧化物酶(GSH-px)活性, 光镜下观察病理学改变。**结果** 与 S 组比较, CPB 组和 RIPC+CPB 组血清 TNF- α 和 IL-6 浓度升高, 肺组织 W/D 比值和 MDA 含量升高, GSH-px 活性降低($P<0.05$); 与 CPB 组比较, RIPC+CPB 组血清 TNF- α 和 IL-6 浓度下降, 肺组织 W/D 比值和 MDA 含量下降, GSH-px 活性升高($P<0.05$)。HE 染色显示 RIPC+CPB 组肺组织的形态学损伤轻于 CPB 组。**结论** RIPC 可减轻大鼠 CPB 后肺损伤, 其机制与抑制炎性反应和脂质过氧化反应有关。

【关键词】 远程缺血预处理; 体外循环; 肺损伤**【中图分类号】** R-332 **【文献标识码】** A **【文章编号】** 1003—6350(2015)09—1256—03

Protective effects of remote ischemic preconditioning on lung injury and its mechanism in rats undergoing cardiopulmonary bypass. TU Jie, LIANG Dong-ke, LIU Guo-feng, LIANG Bei-wei, WEI Qiu-ying, LIU Ju-mei, ZHANG Bing-dong. Operation & Anesthesia Room, Institute of Cardiovascular Disease, the First Affiliated Hospital of Guangxi Medical University, Nanning 530021, Guangxi, CHINA

[Abstract] **Objective** To investigate the protective effects of remote ischemic preconditioning (RIPC) on lung injury and its mechanism in rats undergoing cardiopulmonary bypass (CPB). **Methods** Sixty adult male Sprague-Dawley rats were randomly divided into three groups ($n=20$ each): sham operation group (group S), group CPB and group RIPC+CPB. Rats in group S were anaesthetized and cannulated but did not undergo CPB; rats in group CPB were cannulated in tail arteries and right jugular vein for CPB; rats in group RIPC+CPB were subjected to RIPC before CPB. RIPC was used by compressing the two hindlimbs alternately with a tourniquet for three cycles of 10 min ischaemia followed by 10 min reperfusion. The superior vena cava blood samples were collected at 2 h after anesthesia resuscitation for determination of concentrations of TNF- α and IL-6, and pulmonary tissue were obtained to observe the wet to dry weight ratio (W/D ratio), concentrations of malondialdehyde (MDA) and activity of glutathione peroxidase (GSH-px). The histopathological changes of lung tissue were also examined. **Results** Compared with group S, the plasma concentrations of TNF- α and IL-6, the W/D ratio and concentrations of MDA in lung tissues were increased, while activity of GSH-px in lung tissues was decreased in group CPB and group RIPC+CPB ($P<0.05$). Compared with group CPB, the plasma concentrations of TNF- α and IL-6, the W/D ratio and concentrations of MDA in lung tissues were decreased, while activity of GSH-px in lung tissues was increased in group RIPC+CPB ($P<0.05$). Compared with group CPB, the morphological injury of pulmonary tissue was alleviated in group RIPC+CPB under HE staining. **Conclusion** RIPC can reduce the lung injury in rats undergoing CPB. The mechanism is closely related to inhibiting the inflammatory reaction and lipid peroxidation.

【Key words】 Remote ischemic preconditioning; Cardiopulmonary bypass; Lung injury

体外循环(Cardiopulmonary bypass, CPB)诱发的肠道内毒素转移、缺血再灌注损伤和全身炎性反应等均可引起不同程度的肺损伤, 轻者仅表现为亚临床症

状的功能改变, 重者则表现为急性呼吸窘迫综合征, 严重影响术后肺功能的恢复^[1]。远端缺血预处理(Remote ischemic preconditioning, RIPC)指通过对一

基金项目: 广西壮族自治区教育厅科学技术研究项目(编号:LX033)

通讯作者: 张炳东。E-mail: zbdong2007@163.com

一个组织或器官进行短暂的非致死性缺血再灌注后,可加强远隔脏器对随后较长时间缺血的耐受能力。RIPC 实施方便,对机体几乎无损伤,可明显减轻远隔脏器缺血再灌注损伤,但具体机制尚不清楚^[2]。因此,本研究拟采用大鼠 CPB 模型,观察 RIPC 对大鼠 CPB 后肺损伤的影响,并探讨相关机制,为临床应用提供依据。

1 材料与方法

1.1 主要仪器与试剂 S5 型多功能监测仪(美国 Datex-ohmeda 公司), Stockert III 型双头滚压泵(德国 Stockert 公司), 小动物膜式氧合器(东莞科威医疗器械有限公司), 肿瘤坏死因子-α(TNF-α)和白细胞介素-6(IL-6)试剂盒(北京科美东雅生物技术有限公司), 丙二醛(MDA)和谷胱甘肽过氧化物酶(GSH-px)试剂盒(南京建成生物工程研究所)。

1.2 动物选择及分组 本实验经广西医科大学动物委员会批准,并符合国家科技部《关于善待实验动物的指导性意见》的规定。成年雄性 SD 大鼠 60 只, 清洁级, 6~8 个月龄, 体重 400~450 g, 由广西医科大学实验动物中心提供。采用随机数字表法分为三组: 假手术组(S 组)、CPB 组和 RIPC+CPB 组, 每组 20 只。S 组仅于麻醉诱导后行机械通气和各部位插管, 不行 CPB; CPB 组建立 CPB 模型; RIPC+CPB 组实施 CPB 前, 对后肢行 RIPC。

1.3 RIPC 方法 通过驱血带阻断后肢血流 10 min, 复灌 10 min, 两侧后肢交替进行, 每侧进行 3 次, 阻断压力以多普勒血流探测仪监测后肢动脉搏动正好消失为宜, 方法同文献^[3]。

1.4 CPB 模型制备 参照文献^[4]制作大鼠 CPB 模型。腹腔注射 10% 乌拉坦 10 ml/kg 麻醉, 16G 静脉导管行气管插管后机械通气。采用尾动脉插管灌注, 右颈静脉插管引流建立循环通路。无血预充, 灌注流量约为 100 ml/kg, 氧流量与灌注流量之比

为 0.8, 通过变温装置保持肛温 37℃, α 稳态管理血气, 术中加入新鲜大鼠肝素血, 维持血细胞比容在 0.20~0.25。CPB 转流 2 h 后停机, 管道剩余血液经离心浓缩后缓慢回输。待自主呼吸恢复平稳后停止机械通气, 拔除气管导管, 并密切观察大鼠麻醉复苏后生命体征。

1.5 标本采集及检测

1.5.1 血清 TNF-α 和 IL-6 浓度的检测 麻醉复苏后 2 h, 采集上腔静脉血 5 ml, 4℃ 下 3 000 r/min 离心 5 min 后取上清液, 按试剂盒说明书以双抗体夹心酶联免疫吸附法检测 TNF-α 和 IL-6 浓度。

1.5.2 肺湿/干重比值(W/D 比值)测定 大鼠上腔静脉血标本采集完毕后, 剖胸取左肺下叶, 滤纸吸去表面血迹后称湿质量, 然后置于 70℃ 烤箱内烘干至恒重, 称干质量, 计算 W/D 比值。

1.5.3 肺组织 MDA 含量和 GSH-px 活力测定 取右肺下叶, 滤纸吸干表面污物, 制备 10% 组织匀浆, 考马斯亮蓝法测定匀浆内蛋白浓度, 然后按试剂盒说明书测定 MDA 含量和 GSH-px 活力。

1.5.4 肺组织病理学情况观察 取左肺上叶组织, 4% 多聚甲醛固定, 石蜡包埋切片, HE 染色, 光镜下观察病理学情况。

1.6 统计学方法 采用 SPSS15.0 统计学软件进行分析, 计量资料以均数±标准差($\bar{x}\pm s$)表示, 多组间比较采用单因素方差分析, 以 $P<0.05$ 为差异有统计学意义。

2 结果

2.1 肺组织病理学观察结果 S 组肺组织结构完整, 无明显充血、水肿及炎性细胞浸润; CPB 组肺间质水肿、出血, 肺泡间隔增宽, 肺泡腔内可见大量炎性细胞浸润; RIPC+CPB 组肺间质略水肿, 少量出血, 肺泡间隔轻度增宽, 肺泡腔内少量炎性细胞浸润, 见图 1。

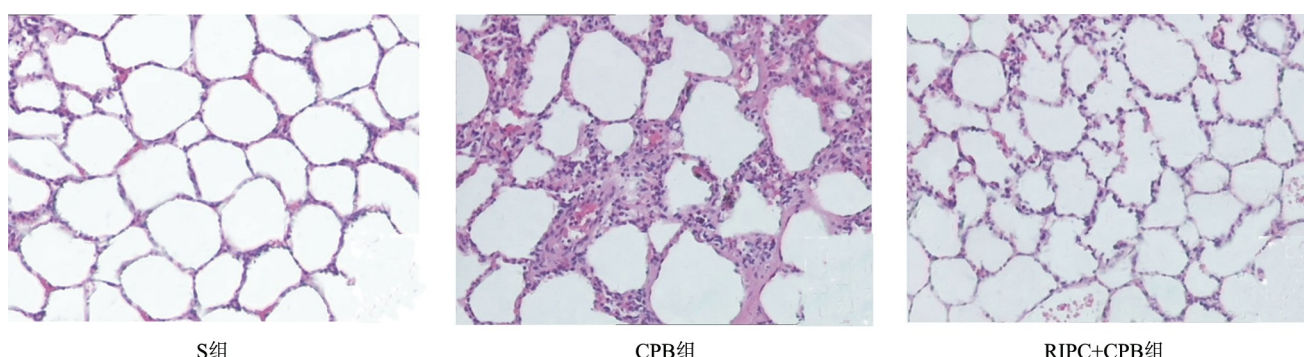


图 1 光镜下三组肺组织病理学检查结果(HE 染色, $\times 100$)

2.2 血清 TNF- α 和 IL-6 浓度比较 与 S 组比较, CPB 组和 RIPC+CPB 组血清 TNF- α 和 IL-6 浓度升高 ($P<0.05$); 与 CPB 组比较, RIPC+CPB 组血清 TNF- α 和 IL-6 浓度下降 ($P<0.05$), 见表 1。

2.3 肺组织 W/D 比值、MDA 含量和 GSH-px 活性比较 与 S 组比较, CPB 组和 RIPC+CPB 组肺组织 W/D 比值和 MDA 含量升高, GSH-px 活性降低 ($P<0.05$); 与 CPB 组比较, RIPC+CPB 组肺组织 W/D 比值和 MDA 含量下降, GSH-px 活性升高 ($P<0.05$), 见表 1。

表 1 三组大鼠血清 TNF- α 、IL-6、肺组织 W/D 比值、MDA 和 GSH-px 活性比较 ($n=20$, $\bar{x}\pm s$)

组别	TNF- α ($\mu\text{g/L}$)	IL-6 (ng/L)	W/D	MDA (nmol/mg)	GSH-px (U/mg)
S 组	0.97±0.26	48.6±13.8	3.31±1.24	13.8±3.6	53.7±8.4
CPB 组	2.76±0.34 ^a	96.3±17.4 ^a	5.13±1.46 ^a	38.5±4.8 ^a	26.1±6.5 ^a
RIPC+CPB 组	1.63±0.30 ^{ab}	75.8±15.2 ^{ab}	4.54±1.20 ^{ab}	26.7±4.4 ^{ab}	33.9±6.8 ^{ab}
F 值	4.658	12.415	3.881	7.511	14.518
P 值	0.012	0.000	0.015	0.006	0.000

注:^a与 S 组比较, $P<0.05$; ^b与 CPB 组比较, $P<0.05$ 。

3 讨论

本研究采用尾动脉插管灌注, 右颈静脉插管引流的方法建立大鼠 CPB 模型, 实现了接近生理的全流量转流, 并使用微型动物膜式氧合器, 实现无血预充, 从而模拟了临床 CPB 的转流过程, 且各组大鼠均于转流 2 h 后顺利停机, 并于自主呼吸恢复后拔除气管导管, 且存活, 说明 CPB 模型制备成功。本研究结果显示, 大鼠 CPB 后肺组织 W/D 比值增加, 肺间质出血、水肿, 肺泡间隔增宽, 肺泡腔内大量炎性细胞浸润, 提示 CPB 可造成一定程度的肺损伤, 这与 Chen 等^[5]的研究一致。

Dong 等^[6]研究表明, 肺脏本身的缺血预处理可减轻肺组织的缺血再灌注损伤, 但阻断肺动脉可损伤血管内膜, 且短暂缺血亦可造成肺上皮细胞损伤, 因此限制了其临床应用, 而 RIPC 实施方便, 对机体几乎无损伤, 可较好地避免上述缺陷^[2]。本研究参照文献^[3]的方法, 在大鼠 CPB 前实施 RIPC 干预, 结果表明, 与 CPB 组比较, RIPC+CPB 组 W/D 比值下降, 肺组织病理学改变减轻, 提示 RIPC 可减轻大鼠 CPB 后的肺损伤。

目前所能检测到的与 CPB 后肺损伤有明确关系的炎性因子主要包括 TNF- α 、IL-1 β 、IL-6、IL-8 和 IL-10^[7-8]。其中 TNF- α 是主要的促炎因子, 可通过多种途径引起肺损伤; IL-6 是炎性因子积聚的主要因素, 并促进炎性因子进一步释放, 其水平与 CPB 炎性反应导致的组织损伤有密切关系。Goebel 等^[9]通过动物实验证实, CPB 后大鼠血清中 TNF- α 和 IL-6 水平即有增加, CPB 结束后 2 h 达到高峰, 本研究亦证实

了这一观点。而 RIPC 干预后, 可显著降低血清中 TNF- α 和 IL-6 浓度, 且肺组织 W/D 比值下降, 肺组织病理学损伤减轻, 提示 RIPC 减轻大鼠 CPB 后肺损伤的机制, 可能与抑制炎性反应有关。

MDA 是脂质过氧化反应的产物, 并间接反映组织受自由基攻击的程度; GSH-px 可特异的催化还原型谷胱甘肽对过氧化氢的还原反应, 间接反映组织清除自由基的能力^[10]。本研究结果显示, 大鼠 CPB 后肺组织 MDA 浓度增高, GSH-px 活性下降, 而实施 RIPC 干预后, 肺组织 MDA 浓度下降, GSH-px 活性升高, 且肺组织 W/D 比值下降, 肺组织病理学损伤减轻, 说明 RIPC 可减少大鼠 CPB 后氧自由基的释放, 减轻肺组织细胞的损伤。

综上所述, RIPC 可减轻大鼠 CPB 后肺损伤, 其机制可能与抑制炎性反应和脂质过氧化反应有关。但 RIPC 实施的最适时机和持续时间有待进一步研究。

参考文献

- Young RW. Prevention of lung injury in cardiac surgery: a review [J]. J Extra Corpor Technol, 2014, 46(2): 130-141.
- 符传艺, 王鹏程, 赵建农, 等. 远程缺血预处理的研究进展 [J]. 海南医学, 2011, 22(23): 137-140.
- Hu X, Lu Y, Zhang Y, et al. Remote ischemic preconditioning improves spatial learning and memory ability after focal cerebral ischemia-reperfusion in rats [J]. Perfusion, 2013, 28(6): 546-551.
- Fujii Y, Shirai M, Tsuchimochi H, et al. Hyperoxic condition promotes an inflammatory response during cardiopulmonary bypass in a rat model [J]. Artif Organs, 2013, 37(12): 1034-1040.
- Chen S, Xu L, Tang J. Association of interleukin 18 gene polymorphism with susceptibility to the development of acute lung injury after cardiopulmonary bypass surgery [J]. Tissue Antigens, 2010, 76(3): 245-249.
- Dong LY, Zheng JH, Qiu XX, et al. Ischemic preconditioning reduces deep hypothermic circulatory arrest cardiopulmonary bypass induced lung injury [J]. Eur Rev Med Pharmacol Sci, 2013, 17(13): 1789-1799.
- Luo Y, Wang Y, Poynter JA, et al. Pretreating mesenchymal stem cells with interleukin-1 β and transforming growth factor- β synergistically increases vascular endothelial growth factor production and improves mesenchymal stem cells-mediated myocardial protection after acute ischemia [J]. Surgery, 2012, 151(3): 353-363.
- 杨志刚, 张志新, 李振东, 等. 乌司他丁对室间隔缺损手术患儿的肺氧合功能及 C-反应蛋白、白介素-6 水平的影响 [J]. 海南医学, 2013, 24(22): 3336-3338.
- Goebel U, Siepe M, Mecklenburg A, et al. Reduced pulmonary inflammatory response during cardiopulmonary bypass: effects of combined pulmonary perfusion and carbon monoxide inhalation [J]. Eur J Cardiothorac Surg, 2008, 34(6): 1165-1172.
- Disli OM, Saruhan E, Colak MC, et al. Effects of molsidomine against doxorubicin-induced cardiotoxicity in rats [J]. Eur Surg Res, 2013, 51(1-2): 79-90.

(收稿日期:2014-12-03)